



# IV SIMPOSIUM NACIONAL DE RECONOCIMIENTO DE FORMAS Y ANÁLISIS DE IMAGENES

Granada

24-28 de septiembre 1990

## COMUNICACIONES

Sociedad Española de Reconocimiento de Formas y Análisis de Imágenes (SERFA)



## Reconocimiento Automático Celular. O. Ferrer, R.M. Fragozo..... 91

- Estudio Textural de la Mesoaurita Mediante una Función Morfológica de Apertura Lineal. A. Moragas, M. Sans..... 93

- Reconocimiento de los Números Catalanes Mediante Semisílabas Y con Ayuda de una Gramática. M. Fliquer, C. Nadeu, J.B. Mariño..... 95

- Discontinuidades en la "Intact Rock". Su Quantificación por Proceso Digital de Imagen. A. Martínez, M. Montoto, B. Menéndez..... 97

- Análisis de Texturas Basado en células de Gabor. A. Tabernero, R. Navarro..... 99

## SEÑALES UNIDIMENSIONALES

- Algoritmo para la Estimación del Pitch de Señales de Voz por Semejanza de Pulses. J.A. Galvez, M.C. Benítez, P. García, J. Díaz, A.J. Rubio..... 101

- Técnicas de Suavizado para la Mejora del Reconocimiento con Modelos Ocultos de Markov. A. Nevot, E. Lleida, A. Bonafonte..... 103

- Incorporación de Características Dinámicas de la Señal de Voz a un Sistema de Reconocimiento del Habla Mediante Modelos Ocultos de Markov. A. Bonafonte, A. Moreno, J.B. Mariño..... 105

- Estimación de los Modelos Ocultos de Markov Mediante la Técnica de Entrenamiento Correctivo. M. Vall, E. Monto, J.B. Mariño..... 107

- Reconocimiento de Voz Mediante Modelos Discretos de Markov para Control de Robot Mediante Voz. A. Peinado, J.M. López, J.C. Segura, Sanchez, V..... 109

- Compactación de Espectros de Radiación por Predicción Lineal para su Reconocimiento Automático por Red Neuronal. J.M. Pérez, P. Gómez, V. Rodella, J.C. Díaz, P. Olmos..... 111

- Selección de Características en el Reconocimiento Automático del Habla. E. Lleida, C. Nadeu, J.B. Mariño..... 119

- Reconocimiento de Palabras Aisladas Mediante Redes Neuronales. C. Puchol, F. Casacuberta..... 127

- Estudio de Técnicas de Proyección no Lineal en Reconocimiento de Formas Y Aplicación al Reconocimiento Automático del Habla. D. Gil, E. Vidal..... 135

- Optimización del Coste del Algoritmo de Reconocimiento Basado en el Método ECGI. F. Torró Enguij, E. Vidal..... 144

- Reconocimiento Robusto del Habla con Parametrización LPC. C. Nadeu, J. Rascado, J. Pascual..... 152

## HARDWARE Y SOFTWARE

- Segmentación de Escenas en Color en Biología Celular. R. Medina, A. Calvo, M. Gallego..... 160

- Control de un Citofotómetro con Dos Grados de Libertad. R. Medina, A. Calvo..... 162

- Construcción de un Codificador de Videoconferencia para Red Local Ethernet. A. Barba, S. Sallent..... 164

- ABACO : Una Arquitectura Paralela para Sistemas Industriales de Visión Artificial. F.A. Beltrán Blázquez, J. Navarro Artigas..... 170

- Televisión de Alta Definición: Una Introducción al Sistema HD-MAC. J.R. Casas, L. Torres..... 178

- Sistema Híbrido de Telefonía Visual para Redes de Baja Velocidad. P. Muñoz, J. Zamora, S. Sallent, L. Torres..... 186

## VISION ARTIFICIAL

- Estudio Colorimétrico de Frutos Y Hojas para Visión Artificial. V. Arnau, M. Vicens, J. Pelechano..... 194

- Visión Artificial Aplicada al Guiado de un Robot Móvil. M. Mazo, D. Maravall..... 202

- Seguimiento Estereoscópico de Objetivos desde un Robot Móvil con Predicción de Movimiento. J. Frau, V. Llario..... 210

- Algoritmo de Aprendizaje para Clasificación Y Agarre en Tiempo Real de Objetos. J. González Jiménez, A. Olivero..... 218

- Elementos de Visión Industrial. M. Vilela..... 226

- Invariantes proyectivos en la identificación de objetos Poliedricos 3-D. A. Sanfelix..... 228

## ANALISIS DE IMAGENES

- Segmentación de Imágenes Texturas Usando Campos de Markov. A. Mosquera, D. Cabello..... 239

- Algoritmo de Etiquetado Relajado Basado en Autómatas de Aprendizaje. E. Fernández Lopez..... 247

- Matching Elástico Mediante Splines de Interpolación. J. Serrat, E. Martí, J.J. Villanueva..... 255

- Clasificación Cromática de Escenas Naturales. Una Aproximación Fuzzy. J. Albert, F. Ferri, J. Domingo, M. Vicens..... 260



# ESTUDIO COLORIMETRICO DE FRUTOS Y HOJAS PARA VISION ARTIFICIAL

V. Arnau, M. Vicens, J. Pelechano

Dpto. de Informática y Electrónica. Universidad de Valencia

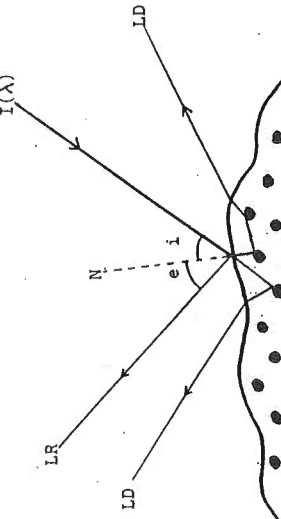
## 2. ESTUDIO DE LA VISION EN AMBIENTES NATURALES.

La principal dificultad del proceso de visión en ambientes naturales estriba en la constante variación de las condiciones de trabajo. Sobre todo, la iluminación de la escena a estudiar será uno de los principales problemas, pues la única fuente lumínosa es la luz solar que varía considerablemente con la hora del día y con las condiciones meteorológicas.

El presente trabajo es un estudio de la reflexión de la luz solar sobre los elementos de la escena y de como percibe la cámara la información lumínosa proveniente de ellos, con el fin de mejorar la calidad de la imagen digitalizada para un proceso posterior de clasificación. Es importante resaltar que la mejora de la imagen no se realiza con fines a visión humana, sino que se intenta adaptar la imagen para que el robot la visualice en unas condiciones adecuadas para la posterior aplicación de los algoritmos.

Es imprescindible conocer la técnica a utilizar para reconocer las naranjas pues ello determinará el tipo de mejora que se debe aplicar a la imagen. Teniendo en cuenta que la rapidez es una cuestión fundamental a la hora de realizar los cálculos, el posterior reconocimiento de los frutos se realizará mediante una umbralización global por intensidad [DUD-73][PRA-79]. Así pues, lo que se pretende es mejorar el contraste entre las naranjas y el resto de los objetos integrantes de la escena.

Centrándonos en el fenómeno de la percepción de la imagen por una cámara, como bien se cita en la bibliografía existente sobre el color de los objetos [LOZ-79] [WYS-82], si tenemos un rayo de luz que incide sobre un cuerpo opaco, como por ejemplo naranjas, ramas u hojas, parte de esta luz es reflejada directamente por la superficie atendiendo al ángulo que forma el haz incidente con la normal de la superficie en el punto de incidencia, y parte tras ser absorbida por el cuerpo del objeto, es reflejada de nuevo; es lo que se conoce como reflectancia difusa. Ver figura 1 donde se muestra el proceso de reflexión sobre un objeto opaco.



Este artículo podría englobarse dentro de estas dos áreas de aplicación, pues versa sobre como mejorar la calidad de una imagen para una posterior interpretación humana sino para una

Los métodos del procesamiento de imágenes poseen principalmente dos áreas de aplicación: mejora de la calidad de la imagen para posterior interpretación humana [GON-87] [NIB-86] y procesado de los datos de la imagen para la extracción de características útiles para la percepción autónomas de una máquina [HOR-86].



Siguiendo el modelo de reflexión dicromático [KLU-88], si un rayo de luz  $I(\lambda)$  incide sobre un objeto en un punto con superficie normal N, la luz reflejada por este punto se puede descomponer en las magnitudes LR y LD:

- LR: Luz Reflejada por la Superficie del material.  
LD: Luz Reflejada por el Cuerpo del material.

Sea  $L(\lambda, e, i, g)$  la luz reflejada total, entonces

$$L(\lambda, e, i, g) = LR(\lambda, e, i, g) + LD(\lambda, e, i, g)$$

donde  $\lambda$  es la longitud de onda,  $e$  es el ángulo de incidencia,  $i$  es el ángulo de reflexión y  $g$  es el angulo de fase. Cada una de estas dos componentes LR y LD dependerán de la composición espectral de la luz incidente  $c(\lambda)$  y de un factor geométrico de escala  $m(i, e, g)$  que variará en el intervalo  $[0, 1]$ , por lo tanto tendremos

$$L(\lambda, e, i, g) = cR(\lambda) mR(e, i, g) + cD(\lambda) mD(e, i, g)$$

La luz reflejada se puede expresar pues como la suma vectorial de estas dos componentes.

La luz reflejada por la superficie (LR) es la que determina los brillos y la luz difundida por el cuerpo del objeto (LD) es la que da las características de color a la superficie.

Por ello cuando digitalizamos una escena a través de una cámara, para cada punto de la imagen obtenemos una información luminosa dependiendo de la luz proveniente de este punto. Segun el valor de la normal de la superficie del objeto en ese punto, la cámara recibirá o bien solo el color de la superficie por medio de la luz reflejada difusa o bien percibirá un brillo si el haz de luz proveniente del Sol tras ser reflejado entre en el sensor, lo cual produce normalmente una saturación y da a este punto un tono blanco.

Analizando una serie de imágenes tomadas en el campo en días soleados, se observó que la principal dificultad para la aplicación de posteriores algoritmos de clasificación es el poco contraste de los frutos frente a las hojas. La existencia de brillos tanto en las hojas como en las naranjas, representaba en principio una dificultad adicional, pero se ha comprobado que un brillo tras la binarización de la imagen tiene un tamaño inferior en pixels al tamaño de una naranja y puede ser eliminado con relativa facilidad. Por ello decidimos basarnos solamente en la reflectancia difusa y realizar el siguiente estudio colorimétrico.

### 3. ESTUDIO COLORIMETRICO.

Utilizando un espectrofotómetro se realizó una serie de medidas de curvas de distribución espectral de energía reflejada difusa a fin de realizar un estudio estadístico que permitiera caracterizar en un principio y posteriormente discriminar las curvas de frutos respecto a las de hojas, es decir, realizar una discriminación por color [VIC- 88].

En el caso de los frutos, cada curva corresponde a medidas realizadas sobre una naranja diferente. Las naranjas elegidas para el estudio fueron de la variedad "Valencia". También se realizaron medidas con otras variedades como "Navel" y "Sanguinelli", observándose una gran similitud en su respuesta espectral.

Se realizaron un conjunto de medidas con hojas, tanto por el derecho como por el envés de las mismas, pues ofrecían un tono diferente. La variedad elegida fue evidentemente la misma que para las naranjas, aunque para las hojas realizamos estudios con siete variedades más y no se observó ninguna diferencia sustancial entre sus respectivas respuestas espectrales.

Aunque también se realizaron medidas con las ramas, se descartó su estudio estadístico pues no solían plantear problemas en la clasificación debido a que son bastante más oscuras que las naranjas y se encuentran generalmente en el interior del arbol y tapadas por los hojas. Además su superficie es bastante mate y no produce brillos.

En la realización de estas curvas se eligieron hojas de distinta edad, ya que las hojas jóvenes aunque son del mismo color que las viejas, suelen presentar un tono más claro. Lo que se observaba era que sus curvas eran similares en la forma pero las hojas jóvenes presentaban un desplazamiento hacia arriba de los valores de energía reflejada difusa. Como las imágenes digitalizadas son en niveles de gris, esta diferencia se traducía en que con la misma iluminación una hoja joven era un poco más clara que una vieja.

El siguiente paso a realizar fue la obtención de las correspondientes curvas patrón. Para ello se calcula para cada una de las frecuencias, tomandolas de 10 en 10, el promedio de valores de cada curva a esa frecuencia, ello dará como resultado la obtención de una curva de distribución espectral promedio tanto de los frutos, como de las hojas

$$E D \text{ naranja}(\lambda)$$

Si para cada una de estas frecuencias se calcula también la desviación estandar, lo que obtenemos es una banda de distribución espectral difusa característica de frutos y hojas.

Representando en una misma gráfica ambas curvas promedio junto con sus correspondientes bandas, se observa que a ciertas frecuencias estas bandas se solapan y a otras frecuencias no. Esto implica que existen unas frecuencias para las cuales la distribución energética espectral difusa de los frutos y de las hojas poseen unos valores claramente diferenciados. Observese los resultados en la figura 2.

A partir de las curvas patrón de las naranjas y de las hojas con sus respectivas bandas, se obtuvo una curva diferencia  $DIF(\lambda)$  entre las dos bandas, para así poder resolver las situaciones más desfavorables. El módulo de esta función diferencia presenta unos máximos para las frecuencias

$$\begin{aligned} 680\text{nm.} &(47.0\%) \\ 980\text{nm.} &(8.1\%) \end{aligned}$$

Se observaron otros máximos en el infrarrojo pero las limitaciones de la cámara impidieron considerarlos



Este filtro utilizado solo permite pasar una banda de frecuencias muy estrecha, aproximadamente 10 nm., ver figura 3. Ello determina que el nivel de gris en un punto de la imagen dependa casi exclusivamente del valor de la energíapectral reflejada a la frecuencia del filtro.

Por lo cual, los niveles de gris de frutos y hojas dependen, en una primera aproximación, de los valores de su distribución espectral de energía difusa a la frecuencia del filtro, siendo además a dicha frecuencia cuando mayor diferencia se obtiene entre estos valores.

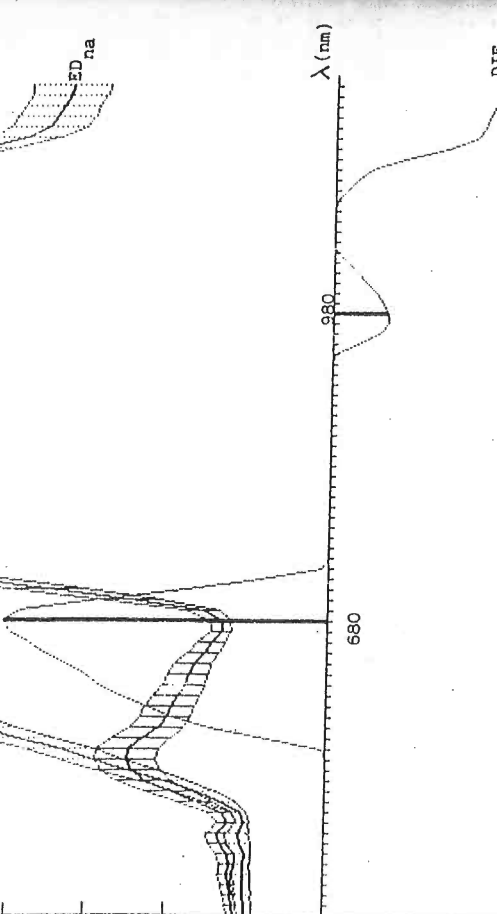


Figura 2 . Estudio estadístico.

A la hora de decidirnos por una de las dos frecuencias, teniendo en cuenta la respuesta espectral o sensibilidad de la cámara, la respuesta espectral del Sol y que la diferencia entre las dos bandas patrón es muy superior en uno de los máximos que en el otro, los cálculos realizados [BIL-86] nos indicaron que la utilización de un filtro interferencial a la frecuencia 680nm., situado delante del sensor, producirá una imagen con un mayor contraste entre las naranjas y las hojas, permitiendo una mejor clasificación de los frutos.

Estos estudios resultan ser muy útiles en la visión en niveles de gris como se muestra en este artículo, pero además poseen un enorme interés por el gran abanico de posibilidades que ofrecen para la visión en color.

#### 4. REALIZACION Y RESULTADOS

Tras la colocación de un filtro interferencial de 680nm. delante de la cámara, se tuvo que modificar el diafragma a fin de obtener una escena con unos niveles de gris aceptables (el filtro oscurece la imagen).

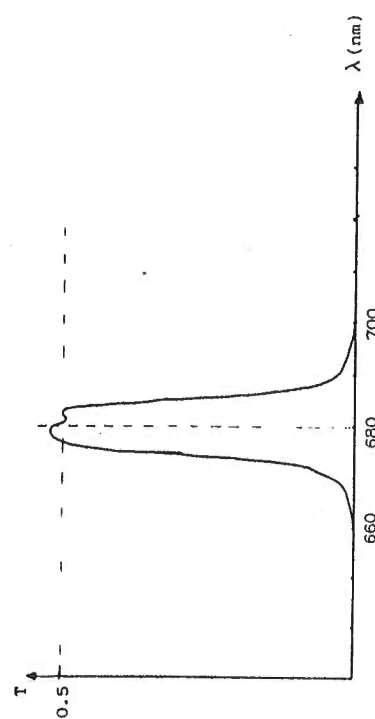


Figura 3 . Respuesta espectral del filtro.

Lo que se obtuvo en la práctica fue una imagen con una diferencia entre los niveles de gris de los frutos y de las hojas mucho más acusada que cuando no se utilizó el filtro interferencial, permitiendo que el proceso de clasificación se realizará con una mayor fiabilidad e independencia de iluminación ambiental.

La única dificultad que se presenta al realizar la segmentación es la existencia de brillos en las hojas, pues los brillos en las naranjas no representan el menor problema si la clasificación se realiza por el método de la umbralización por intensidad. Es de resaltar que los brillos solo se producen en días soleados y que el proceso de clasificación se realiza con más facilidad si el día está nublado, pues entonces las condiciones de iluminación son más uniformes y no solo no se producen brillos, sino que además no existen zonas con fuertes contrastes de iluminación al desaparecer prácticamente las sombras. Los brillos en las hojas tras la segmentación se convierten en pequeñas zonas blancas de tamaño inferior al de una naranja.

Este problema ha sido resuelto utilizando filtros morfológicos [SER- 82] [SER-87] y expuesto en otro artículo realizado por este departamento.

En la figura 4 se pueden observar los resultados obtenidos. En la fotografía de la izquierda observamos una imagen tomada sin filtro y en la de la derecha la misma imagen pero colocando delante del objetivo de la cámara el filtro interferométrico.



-[KLI-88] : G. J. Klinner, S. A. Shafer, T. Kanade  
"Using a color reflection model to separate highlights from object color"  
First International Conference in Computer Vision, Junio 1988.

-[LOZ-78] : Roberto Daniel Lozano  
"El color y su medición". Editorial AmericaLee, Buenos Aires(1978)

-[NIB-86] : Wayne Niblack  
"Digital Image Processing". PrenticeHall I. (1986).

-[PRA-79] : William K. Pratt  
"Digital Image Processing". John Wiley & Sons, Inc.(1979)

-[VIC-88] : M. Vicens, J. Pelechano.  
"Propiedades ópticas de frutos y hojas"  
Documento interno proyecto CITRUS-Robot, EU-176, Feb. 1988.

-[WYS-82] : G. Wyszecki & W. S. Stiles  
"Color Science". John Wiley & Sons, Inc.(1982).



Figura 4 . Imagen con y sin filtro.

## 5.CONCLUSIONES.

La conclusión general que se extrae en la realización de este trabajo es que resulta fundamental en el procesamiento de imágenes y más concretamente en el reconocimiento de patrones, el conocimiento exhaustivo y riguroso de los objetos que van a ser reconocidos. No solo conocer su respuesta espectral, sino también otras cualidades como su forma, textura, etc.

La conclusión particular que se extrae de este trabajo es que el conocimiento de la respuesta espectral difusa que define el color de un objeto, aporta una información valiosísima a cerca del objeto, y permite en este caso la elección de un filtro interferométrico óptimo para la obtención de una imagen de mayor calidad con fines a la aplicación de unos algoritmos con mayor fiabilidad.

Este trabajo fue parcialmente subvencionado por la CICYT CE87-0016-C04-04

## 6.REFERENCIAS

-[BIL-66] : F.W. Billmeier Jr. & Max Saltzman  
"Principles of color technology". John Wiley & Sons, Inc.

-[DUD-73] : R. O. Duda and P.R. Hart  
"Pattern classification and scene analysis". John Wiley & Sons, Inc.(1973)

-[GON-87] : Gonzalez & Wintz  
"Digital Image Processing". Addison-Wesley,(1977).

-[HOR-86] : B. P. Horn  
"Robot Vision". McGraw Hill,(1986).





INDICE DE AUTORES

Abella, G.	:	59
Albert, J.	:	260, 66
Amigo, V.	:	82
Arnau, V.	:	194, 66
Arregui, Miguel A.	:	74
Barba, A.	:	164
Beltrán Blázquez, Fernando A.	:	170
Benavides, J. I.	:	268, 59
Benítez, M. Carmen	:	101
Bescós, Julián	:	51
Bonafonte, Antonio	:	105, 103
Bosch, S.	:	284
Cabello, D.	:	239
Calvo Cuenca, A.	:	160, 162
Campos, J.	:	284
Carazo, J. M.	:	268, 59
Carranza, J. M.	:	36, 34, 32
Carrascosa, J. L.	:	59
Casacuberta, Francisco	:	127
Casas, J. R.	:	178
Cerverón, V.	:	66
De F. Moneo, J. R.	:	284
Díaz, F.	:	24
Díaz, J. C.	:	111
Díaz, Jesús	:	101
Domingo, J.	:	260, 66
Dupuy, A.	:	44
Fernández López, Eusebio	:	247
Fernández Valdivia, Joaquín	:	276
Ferrer C.	:	82
Ferrer Roca, O.	:	91
Ferri, F.	:	260, 66
Ferri Rabasa, F.	:	292
Flaquer, Marius	:	95
Fragoso, R. M.	:	91
Frau, J.	:	210
Gálvez, Juan A.	:	101
Gallego Huertas, M.	:	160
García, P.	:	300
García, Pedro	:	101
García, J. A.	:	327
Gasull, A.	:	17
Gil, Daniel	:	135
Gómez, F.	:	36, 34, 32
Gómez, P.	:	111
González Jiménez, J.	:	218
Gonzalo, Consuelo	:	308
Gonzalvo, P.	:	89
Gutiérrez Jaimez, Ramón	:	335
Herranz Araujo, P.	:	1
Huguet, J.	:	316
Juvells, I.	:	284
Lizarraga, J.	:	59
López, Juan M.	:	109
Llario, V.	:	210
Lleida, Eduardo	:	119, 103
Llorens, A.	:	228
Maravall Gómez, Darío	:	202

